

プログラムローダを用いたメモリ破壊攻撃群への 対策技術の提案と実装

渡辺 亮平¹ 近藤 秀太¹ 菅原 捷汰¹ 横山 雅展¹ 中村 慈愛² 須崎 有康³
齋藤 孝道²

概要：実行バイナリにおける脆弱性の一つに、メモリ破壊脆弱性（CWE-119）がある。この脆弱性を悪用するメモリ破壊攻撃は、サービスのクラッシュや端末の制御の奪取を引き起こす可能性がある。現在までにこの攻撃に対して、コンパイラ、リンカ、OS、またはライブラリにおける対策技術が提案・実装されてきた。しかし、コンパイラやリンカにおける対策技術は、ソースコードが必要で開発段階での適用が必要である。加えて、「メモリ破壊を招くライブラリ関数」を使用する実行バイナリにおいて、対策技術が適用されていないものが既に一定数配布されていることがわかった。本論文では、OS 低依存のアプリケーションレベルのプログラムローダを用いて、メモリ破壊攻撃を緩和する手法の提案、実装、および評価を行う。提案手法は、実行時に「メモリ破壊を招くライブラリ関数」を安全な代替関数に置き換えることで、代表的なメモリ破壊攻撃を緩和する。

キーワード：メモリ破壊脆弱性，メモリ破壊攻撃

1. はじめに

CWE-119[1] に分類されるメモリ破壊脆弱性は現在でも報告が絶えない脆弱性の一つである。中でも、CWE-121[2] に分類される Stack-based Buffer Overflow（以降、SBoF と呼ぶ）脆弱性、CWE-122[3] に分類される Heap-based Buffer Overflow（以降、HBoF と呼ぶ）脆弱性の報告件数は現在でも一定数を保っている。また、CWE-416[4] に分類される Use After Free 脆弱性は、2006 年に登場

後、報告件数は増加傾向にある。

これらの脆弱性を悪用するメモリ破壊攻撃は、システムのクラッシュや端末制御の奪取を招く可能性がある。これまでに、それらの攻撃に対して、コンパイラ、リンカ、OS、ライブラリにおける対策技術が提案されてきた。一部の対策技術は主要な OS やコンパイラに組み込まれ、ASLR[5] や DEP[6]、SSP[7] といった代表的なセキュリティ機構はデフォルトで有効となっている。しかし、それらの対策技術は、コード再利用攻撃 [8][9] を始めとする様々な手法によって回避されることが知られている。近年の研究では、コード再利用攻撃を困難にする Software Diversity[10][11][12]、プログラムの制御フローを検査する Control-flow integrity [13][14][15]、境界外アクセスを検知する Bounds Checking[16][17][18][19][20] が提案されている。

¹ 明治大学大学院
Graduate School of Meiji University

² 明治大学
Meiji University

³ 国立研究開発法人産業技術総合研究所
National Institute of Advanced Industrial Science
and Technology

しかし、既存の対策技術は効果がある一方で、状況によっては利用できない場合がある。例えば、コンパイラやリンカにおける対策技術は開発フェーズでの適用が想定され、その利用には、ソースコードの取得と再コンパイルを必要とする。また、OSにおける対策技術は、システム全体へ影響を及ぼすため、新しいOSに切り替えることが困難な環境などではその恩恵を享受できない。ライブラリによる対策は、運用フェーズでの適用が可能であるが、バージョンなどの依存関係がない場合に限られる。すなわち、脆弱性が発見される運用フェーズにおいて、既存対策は利用できないケースがあることがわかる。

加えて、我々の先行研究により、主要なLinuxディストリビューションにおいて、コンパイラのセキュリティ対策が機能していないバイナリが一定数存在することが示された [23]。さらに、本論文の調査により新たに、こうしたバイナリの中に「メモリ破壊を招くライブラリ関数」を現在も利用しているものが、一定数存在することがわかった。メモリ破壊を招くライブラリ関数に起因する脆弱性は、CVE-2017-14492[21]、CVE-2017-14493[22]のように現在でも報告されており、その中には当該脆弱性対策が期待される Automatic Fortificationの適用によっても検知することができないケースも存在する。

以上より、本論文では、実行バイナリへ適用を可能とするアプリケーションレベルのプログラムローダ（以降、Safe Trans ローダと呼ぶ）を用いたメモリ破壊攻撃への総合的な対策を提案する。Safe Trans ローダは、実行時にメモリ破壊を招くライブラリ関数を含む、複数のライブラリ関数をより安全な代替関数に置き換えることで、その関数におけるSBoF攻撃、HBoF攻撃およびUse After Free攻撃を緩和する。また、対象ソフトウェアがリリースされた後、運用フェーズで脆弱性に対処する際、ソースコードが入手できない場合が想定される。Safe Trans ローダには、そのようなケースにおいても対策を適用できる特徴がある。

本論文において、我々は、32ビットLinux OSにおけるELFファイル形式の実行バイナリへの適

用を想定してSafe Trans ローダのプロトタイプを実装した。Safe Trans ローダを、いくつかのバイナリに適用したところ、各バイナリに対するSBoF攻撃、HBoF攻撃およびUse After Free攻撃の緩和を確認できた。また、SPEC CPU2006を用いて評価を行った結果、オーバーヘッドは、約1.08%であることがわかった。

2. 背景

本論文では、新たにメモリ破壊を招くライブラリ関数の使用状況を調査した。本節では、2.1節で先行研究の結果について、2.2節で新たに行った調査の結果について述べる。

2.1 コンパイラのセキュリティオプションの適用状況

先行研究では、3つのディストリビューション（CentOS, openSUSE, Ubuntu）の3世代に標準で含まれるELFバイナリを解析することで、4つの対策技術（SSP, Automatic Fortification, RELRO, PIE）の適用状況の調査を行なった [23]。これらの対策技術は、ソースコードのコンパイル時にセキュリティオプションを指定することで適用される。調査の結果、それぞれのディストリビューションにおいて、世代が上がるにつれて適用率が高くなる傾向があることがわかった。

比較的新しいディストリビューションにおける各対策技術の適用率を表1に示す。PIEを除く3つの対策技術は半数以上の実行バイナリで対策技術が適用されていたが、この調査によって対策技術が適用されていない実行バイナリが一定数存在することが明らかとなった。

一方、PIEの適用率はどのディストリビューションにおいても低かった。これら対策技術が適用されていないバイナリの中には、オーバーヘッドの問題やセキュリティ機構によって正しく動作しなくなる問題のため、明示的に無効にしているケースがあることがわかった。

また、PIEを除く3つの対策技術のそれぞれについて、ビルド時にセキュリティオプションを有効にしても、対策技術の適用条件を満たしておら

表 1 対策技術の適用率

対策技術	Ubuntu14.04	CentOS7.3	openSUSE13.2
SSP	74%	91%	65%
Automatic Fortification	74%	85%	65%
PIE	15%	26%	11%
Partial RELRO	83%	75%	97%
Full RELRO	13%	25%	3%

ず、セキュリティ機構が組み込まれないケースが散見された。これらのケースでは、開発者がセキュリティオプションを正しく理解していないために、望んだセキュリティ機構が適用されず結果として無駄なビルドが行われている可能性がある。

Ubuntu のある実行バイナリでは、SSP の適用条件 [24] を満たし、かつ SSP のセキュリティオプションが有効にされているにも関わらず、実際にビルドされた実行バイナリには SSP のセキュリティ機構が組み込まれていなかった。これについては、なんらかのバグの可能性も考えられる。

2.2 メモリ破壊を招くライブラリ関数の使用状況

strcpy 関数や gets 関数のようなメモリ破壊を招くライブラリ関数の利用は古くから問題視されており、文献 [25] や [26] ではこれら関数の利用を非推奨としている。しかし、過去の調査過程で、これらライブラリ関数を利用する実行バイナリが散見された。そこで、我々は、新たにメモリ破壊を招くライブラリ関数の利用状況の調査を行った。

2.2.1 調査対象

先行研究 [23] と同一である 32bit のデスクトップバージョンのディストリビューションに対してメモリ破壊を招くライブラリ関数の使用状況の調査を行なった。

ここで、「メモリ破壊を招くライブラリ関数」は、glibc-2.25 における Automatic Fortification [27] が置換対象とする計 79 個とした。

調査対象の実行バイナリは、ディストリビューションに含まれるデフォルトで PATH が通っているディレクトリ内の実行バイナリとした。調査対象を表 2 に示す。

2.2.2 調査方法

調査対象の実行バイナリにおけるシンボル情報

表 2 調査対象のディストリビューションおよび実行バイナリ

ディストリビューション	実行バイナリの総数
Ubuntu14.04	1,159
CentOS7.3	1,601
openSUSE13.2	2,207

からメモリ破壊を招くライブラリ関数の使用の有無を判別する。なお、Automatic Fortification によって置換された `_chk` を接尾辞に持つ関数は、境界検査を行うのでメモリ破壊を招くライブラリ関数には含まれない。glibc-2.25 から Automatic Fortification が置換対象とする関数の取得は文献 [28] を参考にした。

2.2.3 調査結果

各ディストリビューションにおけるメモリ破壊を招くライブラリ関数の使用状況を図 1 に示す。

結果から、どのディストリビューションにおいても、75%以上の実行バイナリにおいて、メモリ破壊を招くライブラリ関数が利用されていることがわかる。また、図 1 には、メモリ破壊を招くライブラリ関数を利用しているバイナリの内、Automatic Fortification が適用されているものを示している。結果から、Automatic Fortification が適用されている場合においても、対象関数が全て置換されず、多くの実行バイナリでメモリ破壊を招くライブラリ関数を使用していることがわかる。

Automatic Fortification は、コンパイル時に以下の条件を満たす場合、関数の置換を行わない [26]。

- (1) 対象関数において、メモリ破壊が起きないことが自明な場合
- (2) 対象関数において、書き込み先バッファのサイズを特定できない場合

これら実行バイナリが、(1) に該当する場合、

安全な関数呼び出しであると言えるが、(2)に該当する場合、その関数に起因するメモリ破壊攻撃を検知することができない。実際に、我々の環境では、CVE-2009-2957[29]やCVE-2017-14493[21]について Automatic Fortification を有効にしてコンパイルを行ったが、関数の置換が行われず、攻撃を防ぐことができなかった。

以上から、Automatic Fortification の適用の有無に関わらず、メモリ破壊を招くライブラリ関数の利用は、その実行バイナリにおける潜在的な脅威になりうる。

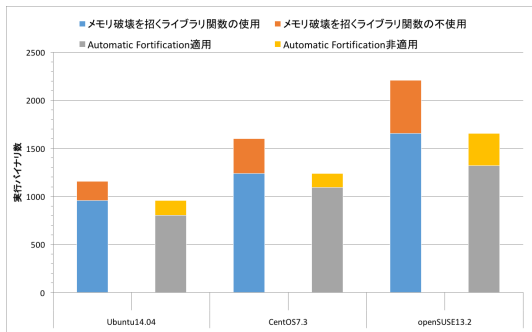


図 1 メモリ破壊を招くライブラリ関数の使用状況

3. 既存のメモリ破壊攻撃への対策技術

メモリ破壊攻撃に向けて様々な対策技術が考案され、実装されてきた。しかし、既に配布された実行バイナリに適用でき、かつ種々のメモリ破壊攻撃を包括的に緩和できる効果的な対策技術は少ない。Szekeres らによると、広く採用される対策技術のオーバーヘッドは、5%から 10%以下でなければならない [30]。本節では、メモリ破壊攻撃への様々な対策技術を取り上げる。

3.1 Buffer Overflow 攻撃への対策技術

古くから知られている対策技術に SSP[7] がある。これはカナリアと呼ばれる値をフレームポインタとローカル変数の間に挿入し、その値が書き換えられた時に SBoF 攻撃を検出する。

Bounds Checking[16][17][18][19][20] は生成されたオブジェクトのサイズやアドレスを生成時に保存しておき、利用される際に、オブジェクトのサ

イズをチェックすることで、Buffer Overflow 攻撃を検出する。しかし、これらの対策技術は適用にソースコードが必要なため、すでに配布されたバイナリに対して適用できない。

Libsafe[31] は SBoF 脆弱性を招くライブラリ関数を、境界検査処理を行う代替関数に置換することで SBoF 攻撃を緩和する。しかし、Libsafe はすでに開発が終了しており、保守されていない。さらに、setuid が設定されたバイナリに対して適用する場合、環境変数 LD_PRELOAD[32] が無視されてしまうので関数を置換できない問題がある。この問題の回避策として Libsafe は、システム全体への適用を提供しているが、この場合、システム上で動作する全てのバイナリに対して関数の置換が行われてしまうので、バイナリごとに適用、非適用を選択できない。

StackArmor[33] は実行前に静的にバイナリを書き換え、実行時にスタック上のデータの配置をランダムにすることで SBoF 攻撃を緩和するが、オーバーヘッドが大きいという問題がある。

3.2 Use After Free 攻撃への対策技術

CETS[34] はメモリ領域の確保時にその領域の参照情報を管理する領域を確保し、ポインタによるメモリ領域へのアクセス時に参照情報を確認することで実行時にダングリングポインタを検知する。

DANGNULL[35]、FreeSentry[36] はポインタの参照情報を管理し、ポインタ操作のたびに参照情報を更新していく。ポインタ操作の結果、ダングリングポインタとなる場合は null を代入することでダングリングポインタの発生を防ぐ。しかし、これらの対策技術は適用にソースコードが必要なため、すでに配布されたバイナリに対して適用できない。

Cling[37] は解放済みのメモリ領域の再利用を特定の条件に当てはまる場合に限定することでダングリングポインタを悪用した攻撃を緩和する。

Dieharder[38] はヒープ上のランダムな位置からメモリ確保を行うことでダングリングポインタを悪用した攻撃を緩和する。

総じて、既存の Use After Free 攻撃への対策技

術にはオーバーヘッドが大きいという問題がある。

3.3 その他の対策技術

上記の攻撃以外のメモリ破壊攻撃への静的な対策技術には、テイント解析技術 [39][40], Software Diversity[10][11][12], Code-pointer integrity[41], Control-flow integrity (CFI) [13][14][15], RELRO, DEP[6] がある。

ASLR[5] は実行時にスタック、ヒープ、共有ライブラリをランダム化することでメモリ破壊攻撃を緩和するが、攻撃自体を防ぐことはできない。CFI は間接分岐およびリターンアドレスの正当性を検証することで、不正な命令の実行を防ぐが、メモリ破壊自体を防ぐことはできない。

4. 提案方式

4.1 脅威モデル

Safe Trans ロードの適用による有効性を示すために、本論文では、SBoF, HBoF, Use After Free の計 3 つの攻撃を脅威モデルとして想定する。SBoF および HBoF は、2 節の調査結果で示したメモリ破壊を招くライブラリ関数に起因する攻撃を対象とし、Use After Free は、その脆弱性を悪用した攻撃を対象とする。

4.2 Safe Trans ロードの設計

本論文では、メモリ破壊攻撃を緩和する Safe Trans ロードを提案する。図 2 に Safe Trans ロード適用の概念図を示す。Safe Trans ロードは、アプリケーションレベルで動作し、OS 標準のロードに代わって、保護対象バイナリをロードする。その際に、保護対象バイナリ内に Safe Trans ロードが置換対象とする関数（以降、置換対象の関数と呼ぶ）が見つかった場合は、それぞれの攻撃への対策処理を加えた代替関数への置換を行う。Safe Trans ロードは、ロードというアプローチを採用しているので、ソースコードの再コンパイルをせずにバイナリに対して直接適用できる特徴がある。

ここで、本論文における置換対象の関数一覧を表 A.1 に定める。これらの関数は、Automatic Fortification が置換する関数および文献 [25] を参

考に我々が選定した。

SBoF および HBoF 攻撃への対策では、置換対象の関数のうち、SBoF と HBoF に関連するものを、境界検査処理を追加したより安全な関数（以降、SBoF/HBoF 境界検査関数と呼ぶ）に置換する。HBoF の対策では、メモリ破壊を招くライブラリ関数だけでなく、境界検査を行うための関連するメモリ確保関数およびメモリ解放関数も代替関数に置換する。Use After Free 攻撃への対策では、既存のメモリ解放関数をメモリブロックの解放処理を遅延させる処理を追加した関数に置換する。

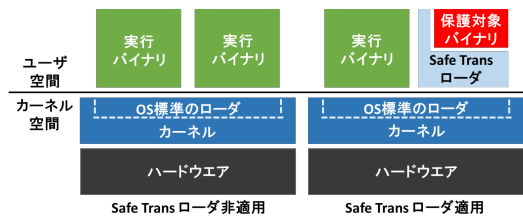


図 2 Safe Trans ロード適用の概念図

4.3 Safe Trans ロードの動作フロー

Safe Trans ロードは、実行時に保護対象バイナリのパスを受け取る。OS 標準のロードによって仮想メモリにロードされた Safe Trans ロードは、以下の順序で保護対象バイナリをロードする。

(1) 保護対象バイナリの読み込み

この後の処理で必要となる保護対象バイナリ of 情報を取得するために、Safe Trans ロードは、保護対象バイナリを Safe Trans ロード自身のヒープ領域に読み込む。

(2) 保護対象バイナリの ELF ヘッダの解析

保護対象バイナリをヒープ領域に読み込んだ後、Safe Trans ロードは、保護対象バイナリの ELF ヘッダを解析し、そのロードに必要な情報を取得する。

(3) 保護対象バイナリのマッピング処理

Safe Trans ロードは、(2) で取得したオフセットから保護対象バイナリのプログラムヘッダを走査する。プログラムヘッダの走査中に LOAD セグメントに対応するものがあれば、

Safe Trans ロードはそのプログラムヘッダに記述されている情報に従い、LOAD セグメントを Safe Trans ロード自身の仮想メモリにマップする。保護対象バイナリのプログラムヘッダ走査中に DYNAMIC セグメントに対応するものがあれば、その情報に従い、共有ライブラリをロードし、再配置処理を行う。この時、ロードする共有ライブラリが Safe Trans ロードの実行によりすでにロードされていた場合、共有ライブラリのロードは行われず、ロード済みのものを Safe Trans ロードと共有する。また、関数の置換は上記の保護対象バイナリの再配置処理時に行われる。

(4) Shadow Memory の作成

HBoF 攻撃への対策において、ヒープ領域内のバッファの境界検査を行うためには、バッファのサイズ情報が必要となる。Safe Trans ロードは、サイズ情報を保持しておく領域として Shadow Memory を作成する。

(5) 保護対象バイナリの実行開始

Safe Trans ロードは、(1) で保護対象バイナリを読み込んだヒープ領域を解放し、(2) で取得したエントリポイントに制御を移す。

図 3 に (1) から (5) までの動作が行われたときの仮想メモリの全体像を示す。

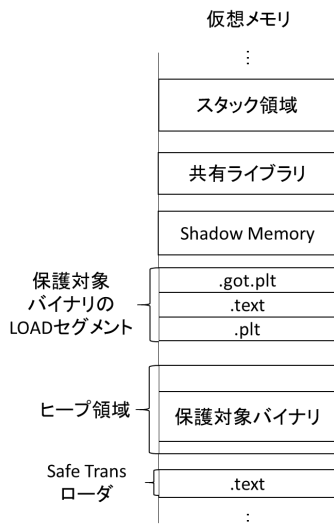


図 3 保護対象バイナリ実行時の仮想メモリの全体像

4.4 関数の置換

一般に、動的リンクを必要とする ELF バイナリのライブラリ関数呼び出しは、.plt セクションを経由し.got.plt (または.got) セクション内の関数ごとに用意されたエントリを参照することで行われる。Safe Trans ロードによる関数置換は、上記の仕組みを利用し、保護対象バイナリの再配置時に、置換対象関数の.got.plt セクションのエントリに、置換後の代替関数のアドレスを書き込むことで行われる。

例として、保護対象バイナリの実行中に、strcpy 関数を、対策処理を追加した Hstrcpy 関数に置換した場合の関数の呼び出しの様子を図 4 に示す。

保護対象バイナリの.text セクションにおいて strcpy 関数が呼び出されると、.plt セクション、.got.plt セクションの順にセクションを参照し (図 4 の矢印 1, 矢印 2), strcpy 関数のアドレスを取得する。.got.plt (または.got) セクションには通常であれば、共有ライブラリ中の strcpy 関数のアドレスが書き込まれるが、Safe Trans ロードがこの部分を Safe Trans ロードの Hstrcpy 関数のアドレスに置換しているため、strcpy 関数の代わりに Hstrcpy 関数が呼び出される (図 4 の矢印 3)。

本提案方式は、上記の動的リンクの仕組みを利用しているため、置換対象関数が実行バイナリと静的リンクされている場合、対策を講じることができない問題がある。

4.5 代替関数における対策処理

SBoF 攻撃、HBoF 攻撃、Use After Free 攻撃のそれぞれに対して、Safe Trans ロード上に定義した代替関数が行う対策処理について説明する。

4.5.1 SBoF 攻撃への対策

SBoF 攻撃への対策として、フレームポインタを用いたスタック領域内の書き込み先のバッファの境界検査を行う。SBoF 境界検査関数が呼び出されると、はじめに、スタックフレーム内に存在するフレームポインタを辿り、書き込み先のバッファが存在するスタックフレームを特定する。次に、関数内での書き込み先のバッファの上限サイズを求める。この時のバッファの上限サイズは、

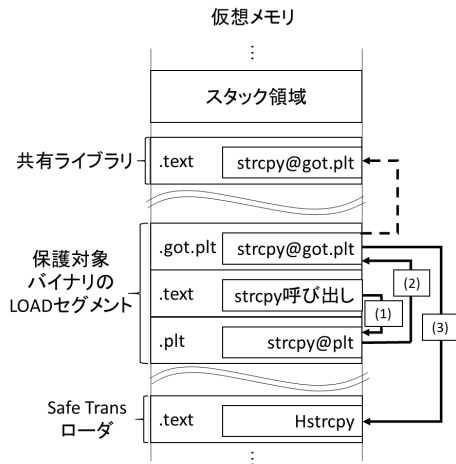


図 4 strcpy 関数を Hstrcpy 関数に置換した場合の関数の呼び出し

関数への引数として渡されたバッファのアドレスからバッファと同じスタックフレーム内のフレームポインタの位置までとする。その後、書き込む文字列のサイズと計算した上限サイズを比較し、書き込む文字列のサイズが上限サイズを超えない場合、書き込み処理を行う。上限サイズを超えた場合、保護対象バイナリの実行を停止する。

このようにすることで、SBoF 攻撃を緩和する関数に上限サイズを上回るサイズの文字列が与えられた場合でも、図 5 に示すようにフレームポインタ以降の書き換えを防ぐ。ただし、バッファとフレームポインタの間にあるローカル変数の書き換えは、本手法では防ぐことができない。これを防ぐためには、SSP のローカル変数保護機能 [7] と組み合わせることが必要である。

4.5.2 HBoF 攻撃への対策

HBoF 攻撃への対策として、AddressSanitizer[42]などで採用されている Shadow Memory 技術を用いて、書き込み先のバッファの境界検査を行う。本提案方式において、Shadow Memory は、Safe Trans ロードの起動時に確保され、置換された malloc 関数などの動的メモリ確保関数により、ヒープ領域に確保されたメモリブロックの情報が格納される。HBoF 境界検査関数が呼び出されると、はじめに、引数として渡された書き込み先のバッファアドレスから対応する Shadow Memory のアドレスを計

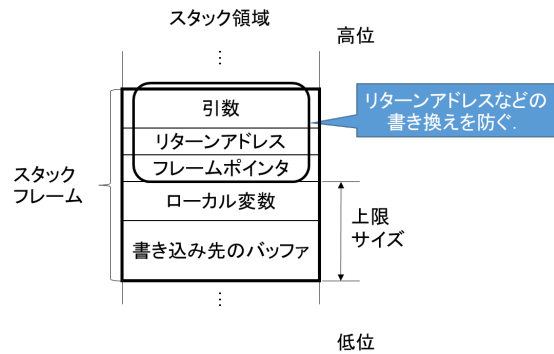


図 5 スタック領域内にある書き込み先のバッファの上限サイズ

算し、Shadow Memory からメモリブロックのサイズを取得する。次に、書き込む文字列のサイズと Shadow Memory から取得したサイズを比較し、書き込む文字列のサイズが、取得したメモリブロックのサイズを超えない場合、書き込み処理を行う (図 6)。メモリブロックのサイズを超えた場合、保護対象バイナリの実行を停止する。置換されたメモリ開放関数では、引数として渡されたポインタから、対応する Shadow Memory のサイズ情報をクリアする。

AddressSanitizer[42] では、スタック領域やヒープ領域などのメモリ破壊脆弱性を検出するために、データ領域の 8 バイトと、Shadow Memory の 1 バイトを対応付けている。これにより、32bit 環境では、約 512MB の領域を必要とする。本提案方式では、メモリ確保関数におけるサイズ情報のみを格納するため、ヒープ領域の 8 バイトと Shadow Memory の 1 ビットを対応付けた。よって、Safe Trans ロードは起動時に、約 48M バイトの領域を確保する。

Shadow Memory を用いたメモリ確保関数およびメモリ開放関数により、Double Free 攻撃への対策も行うことができる。メモリブロックの解放処理の際に、解放するメモリブロックのサイズ情報が Shadow Memory に存在しない場合、そのメモリブロックに対して二重解放が行われていると判断し、プログラムの実行を停止する。

4.5.3 Use After Free 攻撃への対策

Use After Free 攻撃は、解放直後のメモリブロッ

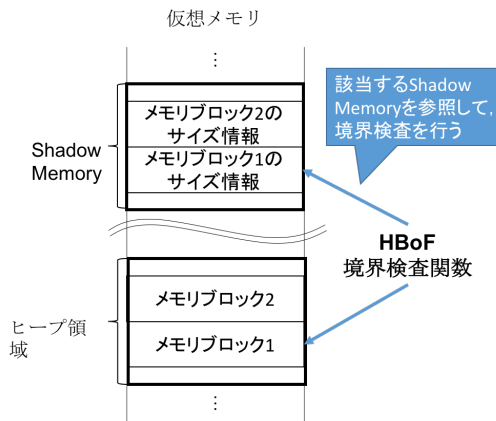


図 6 Shadow Memory を用いた境界検査

クが再利用される性質を悪用するケースが多いということが文献 [43] で示されている。そこで、Safe Trans ロードでは保護対象バイナリで使用されている free 関数を、メモリ解放処理を遅延させる free 関数（以降、Hfree 関数という）に置換する。

図 7 に Hfree 関数のフローチャートを示す。Hfree 関数が呼び出されると、はじめに、引数で指定したポインタを Safe Trans ロード上で定義されているキューに保存する。キューは解放予定のメモリブロックを指すポインタを管理する。このとき、保存後のキューに空きがある場合は、メモリブロックの解放処理は行わないが、空きがなくなった場合は、一番古いものを解放する。本提案方式におけるキューの深さはデフォルトで7としている。

メモリ解放処理を遅延させることで、解放直後のメモリブロックを再利用されることがないので、Use After Free 攻撃を緩和できる。

5. 評価

本節では、Safe Trans ロードの評価を行う。

5.1 評価環境

評価環境として、Intel Xeon E5620@2.40GHz, RAM 8GB において、Ubuntu14.04 LTS 32bit を用いた。また、gcc4.8.4 および glibc2.19 を使用した。

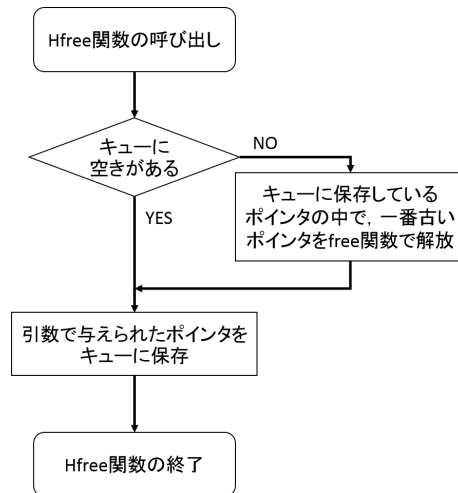


図 7 Hfree 関数のフローチャート

5.2 メモリ破壊攻撃への有効性

5.2.1 SBoF 攻撃への有効性

Safe Trans ロードによる SBoF 攻撃対策の有効性の確認のため、合計4種類のバイナリを用いて提案方式の有効性の評価を行った。

まず、CVE-121 のページ [2] で公開されているサンプルコード (Example1 および Example2) を元に作成した2種類のバイナリを用意した。

さらに、実システムへの有効性確認のため、CVE-2013-4256[44] として脆弱性が報告されている Network Audio System 1.9.3, CVE-2017-14493[22] として脆弱性が報告されている dnsmasq 2.70 を用意した。

Example1 および Example2 は、strcpy 関数で SBoF が引き起こされる。これら脆弱性は、与えられた文字列の文字列長と書き込み先バッファの検査処理を行わずに strcpy 関数を利用していることが原因である。

CVE-2013-4256 は、strcat 関数に起因する脆弱性である。これは、ResetHosts 関数内において、コマンドライン引数として与えられた文字列の文字列長と書き込み先バッファの検査を行わずに strcat 関数を利用していることが原因である。起動時のコマンドライン引数に、書き込み先バッファサイズを上回る入力を与えた場合、strcat 関数によって、スタックフレームが破壊される。

CVE-2017-14493 は、memcpy 関数に起因する脆弱性である。これは、dhcp6_maybe_relay 関数内において、DHCPv6 リクエストのオプションフィールドのオプション長の検査をせずに memcpy 関数の引数として使用していることが原因である。DHCPv6 リクエストのオプションフィールドのオプション長に不正な値を指定した場合、memcpy 関数によって DHCPv6 リクエストの後続のデータ部がメモリに書き込まれ、スタックフレームが破壊される。

これら 4 種類のバイナリを Safe Trans ロード上で実行し、リターンアドレスを書き換える入力を与えた場合に、置換した代替関数でその書き換えを防ぐことができるかを検証した。その結果、それぞれのバイナリの実行において、置換した代替関数の境界検査処理によって、リターンアドレスの書き換えを防ぐことを確認した。

5.2.2 HBoF 攻撃への有効性

Safe Trans ロードによる HBoF 攻撃対策の有効性の確認のため、合計 4 種類のバイナリを用いて提案方式の有効性の評価を行った。

まず、CWE-122 のページ [3] で公開されているサンプルコード (Example1 および Example2) を元に作成した 2 種類のバイナリ (Example1 および Example2) を用意した。

さらに、実システムへの有効性確認のため、CVE-2009-2957[29] として脆弱性が報告されている dnsmasq-2.49, CVE-2017-14492[21] として脆弱性が報告されている dnsmasq-2.70 を用意した。

Example1 および Example2 は、strcpy 関数に起因する脆弱性である。これは、与えられた文字列の文字列長と書き込み先バッファの検査処理を行わずに strcpy 関数を利用していることが原因である。

CVE-2009-2957 は、バージョン 2.49 以前の dnsmasq の TFTP サーバ機能に含まれる HBoF 脆弱性であり、strncat 関数に起因する。具体的には、サーバがクライアントから要求されたファイルのパスを取得する際に、自身が設定ファイルから読み込んだルートディレクトリとクライアントからのリクエストに含まれるファイル名を strncat 関

数により連結するが、連結後のパス長が設定された上限サイズを超えるとパスを保持するバッファがオーバーフローする。

CVE-2017-14492 は、sprintf 関数に起因する脆弱性である。これは、icmp6_packet 関数内において、IPv6 RA リクエストのオプションフィールドのオプション長の検査をせずにオプション長と、後続のデータ部を print_mac 関数の引数として使用していることが原因である。print_mac 関数内では、引数として渡されたオプション長を元に sprintf 関数が呼び出されるので、結果として後続のデータ部が確保されたメモリブロックの境界を超えて書き込まれる。

これら 4 種類のバイナリを Safe Trans ロード上で実行し、確保されたメモリブロックの境界を超える入力を与えた場合、置換した代替関数で、その書き換えを防ぐことができるかを検証した。その結果、それぞれのバイナリの実行において Safe Trans ロードはメモリブロックの境界外への書き換えを防ぐことを確認した。

5.2.3 Use After Free 攻撃への有効性

Safe Trans ロードによる Use After Free 攻撃対策の有効性の確認のため、CWE-416 のページ [4] で公開されているサンプルコードを元に作成したバイナリ Example1 を用いて Use After Free 攻撃への有効性の評価を行った。Example1 では malloc 関数によりメモリブロックが確保され、そのメモリブロックが free 関数により解放された直後に、再度 malloc 関数でメモリブロックが確保されることで Use After Free 攻撃が引き起こされる。

Example1 のバイナリを Safe Trans ロード上で実行し、Use After Free 攻撃を検知することができるかを検証した。その結果、解放されたメモリブロックの再利用が行われなかった。更に、strncpy 関数において、第 1 引数のポインタとメモリブロック解放後に動的に確保されたメモリブロックの先頭アドレスが一致しなかった。以上により、Use After Free 攻撃を防ぐことができた。

5.3 実行時のオーバーヘッド

Safe Trans ロードの適用が、プログラムの実行

表 3 SPEC CPU2006 の実行結果

Benchmark	非適用時の実行時間 [s]	適用時の実行時間 [s]	オーバーヘッド [%]
400.perlbench	818.840233	839.072394	+2.470831
401.bzip2	1701.359856	1701.602044	+0.014235
403.gcc	749.482012	757.061164	+1.011252
429.mcf	430.367698	433.775881	+0.791923
445.gobmk	1043.283557	1044.271021	+0.094649
456.hmmmer	2696.450776	2696.917546	+0.017311
458.sjeng	1183.434958	1183.182357	-0.021345
462.libquantum	2052.520557	2068.106012	+0.759332
464.h264ref	1855.191882	1916.126119	+3.284525
471.omnetpp	821.12275	856.734879	+4.337004
473.astar	1120.15444	1121.542613	+0.123927
483.xalancbmk	1493.826954	1519.444123	+1.714869
AGV	1330.502973	1344.819679	+1.076037

速度面にどの程度影響を及ぼすかを調べるために、SPEC CPU2006 ベンチマークが提供する 12 個のバイナリについて、各バイナリを Safe Trans ロード上で実行した場合と、Safe Trans ロードを用いずに実行した場合の実行時間を計測した。計測結果のグラフを表 3 に示す。Safe Trans ロードのオーバーヘッドは、平均して約 1.08%であった。オーバーヘッドが最も大きかったのは omnetpp の 4.34%、次いで h264ref の 3.28%であった。

また、上記の評価に加えて、Safe Trans ロードのオーバーヘッドがどの処理に起因するかを調べるために、Safe Trans ロード適用時の初期化処理時間および代替関数の呼び出し回数を計測した。初期化処理時間は、4.3 節の動作フローの (1) から、(5) の保護対象バイナリのエントリポイントに制御を移すまでの時間とする。初期化処理時間の計測では、gettimeofday 関数を使用し、Safe Trans ロード上で対象のバイナリを実行した時の値を求めた。代替関数の呼び出し回数の計測は、各代替関数に呼び出し回数を保持する変数を用意し、SPEC CPU2006 で提供されている specinvoke コマンド [45] によって対象バイナリが実行された時の呼び出し回数を求めた。

図 8 に、Safe Trans ロード適用時の初期化処理時間を示す。結果から、Safe Trans ロードの初期化処理時間は、各バイナリで開きがあることがわかった。初期化処理時間が最も短いのは、mcf

の 0.113ms であり、最も長いのは、xalancbmk の 7.549ms であった。この差は、Safe Trans ロードが行う、保護対象バイナリに依存するライブラリのロードとシンボルの再配置処理に起因すると考えられる。例えば、mcf では依存するライブラリは 3 個、再配置シンボルは 23 個であったのに対して、xalancbmk では依存するライブラリは 6 個、再配置シンボルは 143 個であった。

また、表 3 および図 8 から、Safe Trans ロードの初期化処理は、全体のオーバーヘッドへ大きく影響していないことがわかる。

表 4 に、Safe Trans ロード適用時の代替関数の呼び出し回数を示す。Safe Trans ロードが置換した関数の内、どの実行バイナリからも呼び出されなかった代替関数は省略した。結果から、各実行バイナリによって代替関数の呼び出し回数に大きな差があることがわかった。代替関数の呼び出し回数の合計では特に、h264ref, perlbench, omnetpp が他のバイナリに比べ多かった。単位時間当たりの代替関数の呼び出し回数は、perlbench, h264ref, omnetpp, xalancbmk, gcc が他の実行バイナリに比べて多く、これらは表 3 においても、Safe Trans ロード適用時のオーバーヘッドが 1%を超える実行バイナリである。

以上から、評価環境において、Safe Trans ロード適用時のオーバーヘッドは対策処理を追加した代替関数に起因することがわかった。

表 4 代替関数の呼び出し回数

代替関数	400.perlbench	401.bzip2	403.gcc	429.mcf	445.gobmk	456.hmmr	458.sjeng	462.libquantum	464.h264ref	471.omnetpp	473.astar	483.xalancbmk
memcpy	94,976,065	1,704,322	35,713,586	0	638,744	0	0	0	1,766,981,094	215,027,781	196,535	7,492,009
free	346,969,928	144	27,864,797	5	605,864	2,105,372	1	121	178,794	267,102,194	4,799,953	135,155,474
malloc	348,923,312	174	23,524,610	3	605,924	1,983,010	6	1	7,261	267,168,465	4,799,955	135,155,467
realloc	11,736,391	0	44,637	0	52,115	368,696	0	58	0	0	0	0
calloc	0	0	4,566,915	3	0	122,564	0	121	170,521	8	0	8
strcpy	28,233	0	36,284	1	110,817	852	0	0	3,898,186	0	0	0
fgets	0	0	0	210,494	3,161	1,084,455	19	0	0	93	0	0
strncpy	0	0	0	0	0	245,149	0	0	24	959,640	0	152
sprintf	15,988	0	197,914	0	0	4,709	7,286	0	0	802,524	0	40,321
scanf	0	0	0	210,494	7,893	0	0	0	279	0	0	0
vsprintf	0	0	0	0	36,880	0	0	0	0	14,758	0	0
read	12,962	884	9	0	0	0	0	0	1,242	0	54	0
strcat	0	0	0	0	0	13	986	0	0	1	0	0
fscanf	0	0	0	0	0	0	0	0	9	0	0	0
strncat	0	0	0	0	0	0	0	0	8	0	0	0
realpath	0	0	0	0	0	0	0	0	0	0	0	4
total	802,662,879	1,705,524	91,948,752	421,000	2,061,398	5,915,020	8,298	301	1,767,339,232	754,973,650	9,796,497	277,843,435

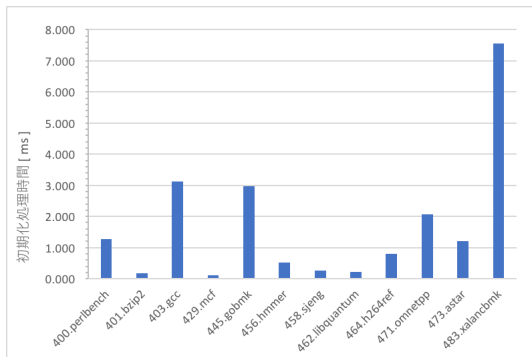


図 8 Safe Trans ロードの初期化処理時間

5.3.1 メモリ使用量のオーバーヘッド

Safe Trans ロードの適用によるメモリ使用量のオーバーヘッドを計測した。計測には、`/proc/<PID>/status` を 1 秒ごとに参照し、そのプロセスが使用した最大仮想メモリを示す `VmPeak` フィールドおよび最大物理メモリを示す `VmHWM` フィールドを用いた。表 5 に、メモリ使用量のオーバーヘッドを示す。

結果から、`VmPeak` と `VmPeak` の増加量の平均は、それぞれ 89MB、48MB であり、`VmHWM` の増加量は、`VmPeak` のものより小さいことがわかった。これらの増加量は、Safe Trans ロード自身、HBoF 攻撃への対策で使用される Shadow Memory および Use After Free 攻撃への対策のメモリ解放処理の遅延によるものだと考えられる。

実行バイナリごとの `VmPeak` の増加量の差は、提案方式のメモリ解放処理の遅延により、メモリブロックが再利用されないことによるメモリ使用

効率の低下が原因だと考えられる。例えば、gcc と libquantum は、他の実行バイナリに比べて、VmPeak の増加量が大きい。この 2 つの実行バイナリを遅延解放処理を無効にした Safe Trans ロード上で計測した結果、VmPeak の増加量は、約 48MB であった。

実行バイナリごとの `VmHWM` の増加量の差は、Shadow Memory とメモリ解放処理の遅延によるものだと考えられる。Shadow Memory による `VmHWM` の増加は、仮想メモリ上の Shadow Memory に対して割り当てられた物理ページ数に起因するので、実行バイナリごとに異なる。メモリ解放処理の遅延による増加は、VmPeak の増加と同様に、メモリブロックが再利用されないことが原因であると考えられる。

6. 考察

6.1 ソフトウェアライフサイクルの観点からの考察

一般的に、対策技術の適用タイミングについて、ソフトウェアの開発（実装）フェーズと運用フェーズの 2 つの視点で考えることができる。

開発フェーズにおいて適用する対策技術としては、コーディング時に、安全なライブラリを使用する手法 [46] やソースコード解析ツールを用いて脆弱性を作りこまないようにする手法 [47] があるが、万全とは言い切れない。また、コンパイル・静的リンク時に対策技術を適用する手法は様々なものが提案、実装されているが、ソースコードを

表 5 メモリ使用量のオーバーヘッド

Benchmark	VmPeak [MB]			VmHWM [MB]		
	非適用	適用	増加量	非適用	適用	増加量
400.perlbench	550	604	54	549	566	17
401.bzip2	853	906	53	850	863	13
403.gcc	812	1,087	275	810	1,054	244
429.mcf	840	888	48	839	844	4
445.gobmk	23	75	51	22	28	6
456.hmmmer	27	75	48	26	29	3
458.sjeng	177	225	48	176	180	4
462.libquantum	98	370	272	98	328	230
464.h264ref	66	119	53	63	69	7
471.omnetpp	104	153	49	103	110	7
473.astar	300	351	52	293	306	13
483.xalancbmk	316	375	59	313	334	21
AGV	347	436	89	345	393	48

必要とする。さらに、ソフトウェアの開発者が細心の注意をはらったとしても、配布するバイナリに脆弱性を作り込んでしまう可能性がゼロとはいきれず、運用フェーズで、脆弱性が発見されるケースも少なくない。また、2節で示したように、コンパイラにおける対策技術が適用されていない実行バイナリや、適用された実行バイナリ中にも依然として脅威が存在することがある。したがって、開発フェーズでの対策には、限界があると言える。

一方、運用フェーズで適用する対策は、ソフトウェアの起動時または動的リンク時に対策技術を適用する [32] などの手法が一般的である。運用フェーズで適用する対策技術の利点は、脆弱性が作り込まれた状態で配布された、もしくは、配布された後、脆弱性が発見されたソフトウェアに対して、利用者側で対策を適用できることである。特に、Safe Trans ロードは、運用フェーズにおける他の対策技術と異なり、個別のアプリケーションソフトウェアごとに対策を適用できるで、OS の切り替えやライブラリの交換などの、システム全体に及ぼす影響が少ないと言える。さらに、システムサポートの終了などでパッチが提供されないケースや、パッチを適用すると障害が発生するケースにおいては、Safe Trans ロードがその解決策の一

つとなりうる。

6.2 メモリ破壊攻撃への既存の対策技術との比較

表 6 のように SBoF, HBoF, Use After Free の 3 種のメモリ破壊攻撃に対応した対策技術は少ない。一方で、Safe Trans ロードは上記の 3 種のメモリ破壊攻撃への包括的な対策を約 1.08% のオーバーヘッドで可能にしている。また、Safe Trans ロードは、Libsafe のようなライブラリによる手法とは異なり、setuid が設定された実行バイナリにも適用できる。個々の攻撃への対策技術では、Safe Trans ロードよりも厳密なメモリ検査をする既存の対策技術もある。しかし、それらは既に配布されたバイナリに対して適用できない問題や、オーバーヘッドの問題がある。5節で示した通り、Safe Trans ロードは、脆弱性が報告されている実バイナリにおける様々なメモリ破壊攻撃を防ぐことができる。よって、我々の対策技術は、実用的かつ有効な対策技術と考える。

7. 制限事項と課題

本提案方式は、置換した関数における攻撃のみを対象としている。そのため、プログラマが独自に定義した関数や置換対象でないライブラリ関数、静的リンクされた関数における攻撃を防ぐことが

表 6 メモリ破壊攻撃への対策技術

対策技術	対象とする攻撃			配布済みの 実行バイナリへの適用	実行時の オーバーヘッド
	SBoF	HBoF	Use After Free		
Safe Trans ロード	✓	✓	✓	✓	1.08%
SSP	✓				1%
Libsafe	✓			✓	0%
Stack Armor	✓				16%
Address Sanitizer	✓	✓	✓		73%
Bounds Checking	✓	✓			49%
CETS			✓		48%
DANGNULL			✓		80%
FreeSentry			✓		42%
Cling			✓	✓	-4%
DieHarder			✓	✓	20%
Taint Tracking	✓	✓			140%

できない。また、置換した関数においてもいくつかの場合で、攻撃を緩和することができない。SHoFの対策では、書き込み先のバッファとフレームポインタの間にあるローカル変数の書き換えを防ぐことができない。また、対策手法はフレームポインタに依存しており、フレームポインタを使用しない実行バイナリでは、攻撃を緩和できない場合がある。HBoFの対策では、確保したメモリブロックを超える書き込みを防ぐことができるが、メモリブロック内におけるオーバーフローは防ぐことができない。Use After Freeの対策では、メモリの遅延開放処理を考慮した攻撃によって回避されてしまう可能性がある。

Safe Trans ロードは、運用フェーズにおいて新たに脆弱性が見つかった実行バイナリに対して、その攻撃を緩和するパッチの提供を目標とする。現在、本提案手法は Automatic Fortification が置換対象とする関数の一部にしか対応しておらず、より多くの攻撃を防ぐためにも、置換対象関数の拡大が求められる。また、フレームポインタに依存しない強固なスタック Unwinding[48] への対応が必要である。

8. まとめ

本論文では、メモリ破壊攻撃を緩和する Safe Trans ロードを提案し、実装と評価を行った。Safe

Trans ロードは、メモリ破壊を招くライブラリ関数を、より安全な代替関数に置換することで、これら脆弱性を悪用する攻撃を緩和することができる。本論文の Safe Trans ロードは、メモリ破壊攻撃のうち、SBoF, HBoF, Use After Free 攻撃への対策を行った。また、SPEC CPU2006 ベンチマークを用いて、Safe Trans ロードのパフォーマンスを評価した結果、適用時のオーバーヘッドは約 1.08%であることがわかった。

参考文献

- [1] CWE-119: Improper Restriction of Operations within the Bounds of a Memory Buffer, <https://cwe.mitre.org/data/definitions/119.html>
- [2] CWE-121: Stack-based Buffer Overflow, <http://cwe.mitre.org/data/definitions/121.html>
- [3] CWE-122: Heap-based Buffer Overflow, <http://cwe.mitre.org/data/definitions/122.html>
- [4] CWE-416: Use After Free, <http://cwe.mitre.org/data/definitions/416.html>
- [5] PaX Team: Pax address space layout randomization (ASLR) (2003). <http://pax.grsecurity.net/docs/aslr.txt>
- [6] Microsoft: A detailed description of the Data Execution Prevention (DEP) feature in Windows XP Service Pack 2 (2008). <http://support.microsoft.com/kb/875352>
- [7] IPA オープンソース・ソフトウェアのセキュリティ確保に関する調査報告書, <https://www.ipa.go.jp/files/000013695.pdf>
- [8] A. Bittau, A. Belay, A. J. Mashtizadeh, D.

- Mazires, and D. Boneh. Hacking blind. In Proc. of IEEE Security and Privacy (2014).
- [9] Snow, K.Z., Monrose, F., Davi, L., Dmitrienko, A., Liebchen, C., Sadeghi, A.R.: K. Z. Snow, F. Monrose, L. Davi, A. Dmitrienko, C. Liebchen, and A.-R. Sadeghi. Just-in-time code reuse: On the effectiveness of fine-grained address space layout randomization. In Proc. of IEEE Security and Privacy (2013).
- [10] R. Wartell, V. Mohan, K. W. Hamlen, and Z. Lin. Binary stirring: self-randomizing instruction addresses of legacy x86 binary code. In Proc. of ACM CCS (2012).
- [11] J. Hiser, A. Nguyen-tuong, M. Co, M. Hall, and J. W. Davidson, ILR : Where' d my gadgets go. in Proc. of IEEE Security and Privacy (2012).
- [12] D. Williams-King, G. Gobieski, K. Williams-King, J. P. Blake, X. Yuan, P. Colp, M. Zheng, V. P. Kemerlis, J. Yang, and W. Aiello, Shuffler: Fast and deployable continuous code re-randomization. In Proc. of Usenix OSDI (2016).
- [13] C. Tice, T. Roeder, P. Collingbourne, S. Checkoway, U. Erlings-son, L. Lozano, and G. Pike. Enforcing forward-edge control-flow integrity in GCC & LLVM. In Proc. of USENIX Security (2014).
- [14] C. Zhang, T. Wei, Z. Chen, L. Duan, L. Szekeres, S. Mc-Camant, D. Song, and W. Zou. Practical control flow in-tegrity & randomization for binary executables In Proc. of IEEE Security and Privacy (2013).
- [15] M. Zhang and R. Sekar. Control flow integrity for COTS binaries. In Proc. of USENIX Security (2013).
- [16] Richard W. M. Jones and Paul H. J. Kelly. Backwards-compatible bounds checking for arrays and pointers in C programs. In Proc. of the 3rd International Workshop on Automatic Debug- ging (1997).
- [17] D. Dhurjati and V. Adve. Backwards-compatible array bounds checking for C with very low overhead. In Proc. of ICSE (2006).
- [18] P. Akritidis, M. Costa, M. Castro, and S. Hand. Baggy bounds checking: an efficient and backwards-compatible defense against out-of-bounds errors. In Proc. of USENIX Security (2009).
- [19] S. Nagarakatte, J. Zhao, M. M. Martin, and S. Zdancewic. SoftBound: highly compatible and complete spatial memory safety for C. In Proc. of SIGPLAN Not (2009).
- [20] Y. Younan, P. Philippaerts, L. Cavallaro, R. Sekar, F. Piessens, and W. Joosen. PAriCheck: an efficient pointer arithmetic checker for C programs. In Proc. of ASIACCS (2010).
- [21] CVE-2017-14492, <https://cve.mitre.org/cgi-bin/cvename.cgi?name=CVE-2017-14492>
- [22] CVE-2017-14493, <https://cve.mitre.org/cgi-bin/cvename.cgi?name=CVE-2017-14493>
- [23] 菅原 捷汰, 渡辺 亮平, 近藤 秀太, 横山 雅展, 中村 慈愛, 須崎 有康, 齋藤 孝道, 主要な Linux ディストリビューションおよびバージョンごとのメモリ破損攻撃への対策技術の適用状況の調査と考察, コンピュータセキュリティシンポジウム (2017).
- [24] IPA ISEC セキュア・プログラミング講座 : C/C++言語編 第10章 著名な脆弱性対策, <https://www.ipa.go.jp/security/awareness/vendor/programmingv2/contents/c905.html>
- [25] John Viega, Gary McGraw, Building Secure Software How to Avoid Security Problems the Right Way, Addison-Wesley 2005
- [26] Robert C. Seacord, 歌代和正, 久保正樹, 椎木孝斉, C/C++セキュアコーディング 第2版, アスキー・メディアワークス, (2014).
- [27] D.Ulrich. Defensive Programming for Red Hat Enterprise Linux (and What To Do If Something Goes Wrong). In Proc. of Redhat, April (2009).
- [28] ubuntu wiki CompilerFlags, <https://wiki.ubuntu.com/ToolChain/CompilerFlags>
- [29] CVE-2009-2957 <https://cve.mitre.org/cgi-bin/cvename.cgi?name=CVE-2009-2957>
- [30] L. Szekeres, M. Payer, T. Wei, and D. Song. SoK: Eternal war in memory. In Proc. of IEEE Security and Privacy (2013).
- [31] A. Baratloo, N. Singh, and T. Tsai. Transparent run-time defense against stack smashing attacks. In Proc. of USENIX Annual Technical Conference (2000).
- [32] Linux Programmer's Manual LD.SO(8), <http://man7.org/linux/manpages/man8/ld.so.8.htm>
- [33] X. Chen, A. Slowinska, D. Andriesse, H. Bos, and C. Giuffrida. StackArmor: Comprehensive Protection From Stack-based Memory Error Vulnerabilities for Binaries. In Proc. of NDSS (2015).
- [34] S. Nagarakatte, J. Zhao, M. M. Martin, and S. Zdancewic, CETS: compiler enforced temporal safety for C In Proc. of ISMM (2010).
- [35] B. Lee, C. Song, Y. Jang, T. Wang, T. Kim, L. Lu, and W. Lee. Preventing Use-after-free with Dangling Dointers Nullification. In Proc. of NDSS. (2015).
- [36] Y. Younan. FreeSentry: Protecting Against Use-After-Free Vulnerabilities Due to Dangling Pointers. In Proc. of NDSS.(2015).
- [37] P. Akritidis. Cling: A Memory Allocator to Mitigate Dangling Pointers. In Proc. of USENIX Security (2010).
- [38] Novark, Gene, and Emery D. Berger. DieHarder: securing the heap. In Proc. of ACMCCS (2010).

- [39] E. Bosman, A. Slowinska, and H. Bos, Minemu: the world's fastest taint tracker. In Proc. of RAID (2011).
- [40] L. Davi, A.-R. Sadeghi, and M. Winandy, ROPdefender: a detection tool to defend against return-oriented programming attacks. In Proc. of ASIACCS (2011).
- [41] V. Kuznetsov, L. Szekeres, M. Payer, G. Candea, R. Sekar, and D. Song. Code-pointer integrity. In Proc. of USENIX OSDI (2014).
- [42] K. Serebryany, D. Bruening, A. Potapenko, D.Vyukov, Address Sanitizer: A Fast Address Sanity Checker. In Proc. of USENIX conference on Annual Technical Conference (2012).
- [43] T. Yamauchi and Y. Ikegami. HeapRevolver: Delaying and Randomizing Timing of Release of Freed Memory Area to Prevent Use-After-Free Attacks. In Proc. of NSS (2016).
- [44] CVE-2013-4256, <https://cve.mitre.org/cgi-bin/cvename.cgi?name=CVE-2013-4256>
- [45] C. D. Spradling, SPEC CPU2006 Benchmark Tools. In Proc. of SIGARCH Comput. Archit. News (2007).
- [46] SafeStr, <https://www.us-cert.gov/bsi/articles/knowledge/coding-practices/safestr>
- [47] D. Wagner, J. S. Foster, E. A. Brewer, and A. Aiken. A first step towards automated detection of buffer overrun vulnerabilities. In Proc. of Network and Distributed System Security Symposium (2000).
- [48] Dwarf debugging information format, version 4. <http://www.dwarfstd.org/doc/DWARF4.pdf>

付 録

A.1 Safe Trans ローダの置換対象関数について

Safe Trans ローダが置換の対象とする関数を示す。

表 A.1 置換対象の関数

No	関数プロトタイプ	関連する脆弱性
1	char *strcpy(char *dest, const char *src)	SBoF, HBoF
2	char *strncpy(char *dest, const char *src, size_t n)	SBoF, HBoF
3	char *stpcpy(char *dest, const char *src)	SBoF, HBoF
4	char *strcat(char *dest, const char *src)	SBoF, HBoF
5	char *strncat(char *dest, const char *src, size_t n)	SBoF, HBoF
6	void *memcpy(void *dest, const void *src, size_t n)	SBoF, HBoF
7	char *gets(char *s)	SBoF, HBoF
8	char *fgets(char *s, int len, FILE *stream)	SBoF, HBoF
9	ssize_t read(int fd, void *buf, size_t count)	SBoF, HBoF
10	char *realpath(const char *path, char *resolved_path)	SBoF, HBoF
11	int sprintf(char *s, const char *format, ...)	SBoF, HBoF
12	int snprintf(char *s, size_t size, const char *format, ...)	SBoF, HBoF
13	int vsprintf(char *s, const char *format, va_list ap)	SBoF, HBoF
14	int vsnprintf(char *s, size_t size, const char *format, va_list ap)	SBoF, HBoF
15	ssize_t read(int fd, void *buf, size_t count)	SBoF, HBoF
16	int scanf(const char *format, ...)	SBoF
17	int fscanf(FILE *stream, const char *format, ...)	SBoF
18	int sscanf(const char *str, const char *format, ...)	SBoF
19	int vscanf(const char *format va_list ap)	SBoF
20	int vsscanf(const char *str, const char *format, va_list ap)	SBoF
21	int vfscanf(FILE *stream, const char *format, va_list ap)	SBoF
22	void free (void *ptr)	HBoF, Use After Free, Double Free
23	void *malloc(size_t size)	HBoF
24	void *calloc(size_t n, size_t size)	HBoF
25	void *realloc(void *ptr, size_t size)	HBoF